

愛媛大学工学部 正 谷脇 一弘
愛媛大学工学部 フェロー 大久保禎二

1. まえがき

本研究は、最小コンプリメンタリーエネルギーの原理に基づく剛節骨組構造物の非線形解析法に関する研究成果を基本にして、構造物の応力度や変位などの挙動に関する感度係数を用いることなく、線形・非線形挙動状態にある剛節骨組構造物の最適設計問題を統一的かつ能率的に解くことのできる新しい最適設計法を提案するものである。設計例として、線形および非線形の材料を有する剛節骨組構造物の最適設計例を示し、本研究で提案する方法の有効性および信頼性を明らかにしている。

2. 原最適設計問題の定式化

非線形剛節骨組構造物の原最適設計問題において、各部材要素の断面として幅B、高さHの長方形断面を仮定し、設計変数としてBを考慮している。また目的関数Wとして構造物の全重量あるいは全製作費を考慮し、挙動制約条件として応力度および変位の制約条件 g_σ, g_λ を考慮している。したがって原最適設計問題は次のように定式化することができる。

$$\text{find } \mathbf{B} = [B_1, B_2, \dots, B_n]^T, \quad \text{which} \quad \text{minimize} \quad W(\mathbf{B}) = \sum_{i=1}^n \rho_i B_i l_i \quad (1)$$

$$\text{s. t. } g_{\sigma k}(B_k, X_k) = \sigma_{kmax}(B_k, X_k) - \sigma_{ka} \leq 0 \quad (k=1, \dots, n), \quad g_\lambda(\lambda_l) = \lambda_l - \lambda_{la} \leq 0 \quad (l=1, \dots, m), \quad B_i^l \leq B_i \leq B_i^u \quad (i=1, \dots, n) \quad (2)$$

ここに、 ρ_i, l_i は部材*i*の単位体積当たりの重量(製作費)および部材長である。 u, l は上限値および下限値を示す。

n, m は部材数および可動節点変位成分の数を表わす。 σ_{kmax} , σ_{ka} は部材*k*の最大応力度および許容応力度を示す。

λ_l, λ_{la} は可動節点変位成分*l*の変位量および許容変位量である。

3. 最小コンプリメンタリーエネルギー原理に基づく剛節骨組構造物の線形・非線形解析問題

構造物の全コンプリメンタリーエネルギー最小化による剛節骨組構造物の線形・非線形解析法1)によれば、図-1に示す剛節骨組構造物の各部材の未知部材端力Xを決定する解析問題は、各可動節点における力の釣合条件 $g(\mathbf{X})$ のもとで、構造物の全コンプリメンタリーエネルギー $\Pi_c(\mathbf{B}, \mathbf{X})$ を最小化する問題として定式化することができる。このエネルギー最小化問題において、目的関数 $\Pi_c(\mathbf{B}, \mathbf{X})$ を $\Delta \mathbf{X}$ の二次形式 $Q_c(\Delta \mathbf{X})$ で近似するとともに線形制約条件を $\Delta \mathbf{X}$ の線形関数 $\mathbf{h}(\Delta \mathbf{X})$ として表現することにより、*k*回目の改良過程における \mathbf{X} の改良のための変化量 $\Delta \mathbf{X}^k$ を決定する近似二次計画問題を次のように導入することができる。

$$\begin{aligned} \text{find} \quad & \Delta \mathbf{X}^k = [\Delta \mathbf{X}_1^{kT}, \Delta \mathbf{X}_2^{kT}, \dots, \Delta \mathbf{X}_n^{kT}]^T, \quad \text{which} \\ \text{minimize} \quad & Q_c(\Delta \mathbf{X}^k) = \nabla \Pi_c^{kT}(\mathbf{X}^k) \Delta \mathbf{X}^k + \frac{1}{2} \Delta \mathbf{X}^{kT} \mathbf{H}_c^k(\mathbf{X}^k) \Delta \mathbf{X}^k \quad (3) \end{aligned}$$

$$\text{subject to} \quad h_j(\Delta \mathbf{X}^k) = g_j(\mathbf{X}^k) - \sum_{i=1}^{3n} C_{ji} \Delta x_i = 0 \quad (j=1, \dots, m) \quad (4)$$

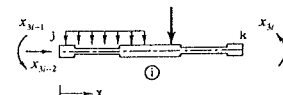


図-1 未知部材端力

ここに、 $\nabla \Pi_c = [\partial \Pi_c / \partial x_1, \partial \Pi_c / \partial x_2, \dots, \partial \Pi_c / \partial x_{3n}]^T$ 、 \mathbf{H}_c^k は正定値係数行列であり、BFGS公式により改良する。

上記の近似二次計画問題は、勾配射影法により解くことができ、 \mathbf{X}^{k+1} は $\mathbf{X}^{k+1} = \mathbf{X}^k + \Delta \mathbf{X}^k$ により改良する。この場合 $g_j(\mathbf{X})$ ($j=1, \dots, m$)、 $\nabla \Pi_c(\mathbf{X})$ および $\mathbf{H}_c^k(\mathbf{X})$ の値も \mathbf{X}^{k+1} の改良にともない修正される。このようにして \mathbf{X} を改良するごとに式(3)、(4)の近似二次計画法問題を修正し、 $\Pi_c(\mathbf{B}, \mathbf{X})$ および \mathbf{X} が一定値に収束するまで改良を繰り返すことにより、最終的な真の未知部材端力 \mathbf{X}^* を決定することができる。

4. 解析上の必要条件の導入

式(3)および(4)で表されるエネルギー最小化問題のラグランジュ関数 $L(\mathbf{B}, \mathbf{X}, \lambda)$ を導入することにより解析上満足すべき必要条件として次式を得る。

キーワード：剛節骨組構造物、非線形最適設計、エネルギー原理、感度解析なし

連絡先：〒790-77 松山市文京町3 愛媛大学工学部環境建設工学科 TEL: 089-927-9812, FAX: 089-927-9844

$$\frac{\partial L(\mathbf{B}, \mathbf{X}, \lambda)}{\partial \Delta X_t} = \frac{\partial \Pi_C}{\partial x_t} + \left[\frac{\partial \Delta \mathbf{X}}{\partial x_t} \right]^T \mathbf{H}_C \Delta \mathbf{X} + \sum_{j=1}^m \lambda_j C_{jt} = 0 \quad (t=1, \dots, 3n) \quad (5)$$

$$\frac{\partial L(\mathbf{B}, \mathbf{X}, \lambda)}{\partial \lambda_j} = \sum_{i=1}^{3n} C_{ji} \Delta x_i - g_j(\mathbf{X}_0) = 0 \quad (j=1, \dots, m) \quad (6)$$

5. 最適設計問題の再定式化および $\mathbf{B}, \mathbf{X}, \lambda$ の改良

式(5)および(6)の解析上満足すべき必要条件を式(1),(2)の原最適設計問題に制約条件として付加し、 $\mathbf{B}, \mathbf{X}, \lambda$ を独立変数として取り扱うことにより、剛節骨組構造物の全重量または全製作費 $\mathbf{W}(\mathbf{B})$ を最小化する最適設計問題を次のように再定式化することができる。

$$\text{find } \mathbf{B}, \mathbf{X}, \lambda, \text{ which minimize } \mathbf{W}(\mathbf{B}) = \sum_{i=1}^n p_i B_i H_i l_i \quad (7)$$

$$\text{subject to } \bar{g}_t(\mathbf{B}, \mathbf{X}, \lambda) = \frac{B_i^0}{B_i} \left\{ \frac{\partial \Pi_C(\mathbf{X}_0)}{\partial x_t} + \left[\frac{\partial \Delta \mathbf{X}}{\partial x_t} \right]^T \mathbf{H}_C(\mathbf{X}_0) \Delta \mathbf{X} \right\} + \sum_{j=1}^m \lambda_j C_{jt} = 0 \quad (t=1, \dots, 3n) \quad (8)$$

$$\bar{g}_j(\mathbf{X}) = \sum_{t=1}^{3n} C_{jt} \Delta x_t - g_j(\mathbf{X}_0) = 0 \quad (j=1, \dots, m) \quad (9), \quad g_{ak}(B_k, X_k) = \sigma_{k \max}(B_k, X_k) - \sigma_{ka} \leq 0 \quad (k=1, \dots, n) \quad (10)$$

$$g_{\lambda}(\lambda_i) = \lambda_i - \lambda_{ia} \leq 0 \quad (i=1, \dots, m) \quad (11)$$

$$B_i^l \leq B_i \leq B_i^u \quad (i=1, \dots, n) \quad (12)$$

上記の再定式化した最適設計問題を $\Delta \mathbf{B}$, $\Delta \mathbf{X}$, $\Delta \lambda$ に関して線形近似し勾配射影法を用いて $\Delta \mathbf{B}$, $\Delta \mathbf{X}$, $\Delta \lambda$ を決定し、 $\mathbf{B}, \mathbf{X}, \lambda$ を $\mathbf{B} = \mathbf{B}_0 + \Delta \mathbf{B}$, $\mathbf{X} = \mathbf{X}_0 + \Delta \mathbf{X}$, $\lambda = \lambda_0 + \Delta \lambda$ により改良する。このような最適設計問題の再定式化、線形近似勾配射影法による解の改良を $\mathbf{W}(\mathbf{B}), \mathbf{B}, \mathbf{X}, \lambda$ が一定値に収束するまで繰り返すことにより、最適な $\mathbf{B}, \mathbf{X}, \lambda$ を決定することができる。

6. 最適設計例および考察

本研究で提案した最適設計法を図-2(a)に示す線形の材料よりもなる図-3の5部材ラーメンに適用し得られた最適解(ENERGY)と、挙動の感度係数を用いて双対法により求めた解(DUAL-S)との比較を行った結果を表-1に示す。各部材の応力度はいずれの場合も許容応力度(2000 kgf/cm^2)と等しくなっており、ENERGYおよびDUAL-Sの解は一致している。また図-2(b)に示す非線形材料よりもなる図-4の10部材ラーメンに対して許容応力度を 2500 kgf/cm^2 、許容たわみ λ_a を 10.0 cm および 2.0 cm とした場合の最適解を表-2に示す。これらの最適設計例より、本研究で提案した最適設計法により、挙動の感度係数を用いることなく線形・非線形剛節骨組構造物の最適設計を統一的に行うことができることが明らかとなった。

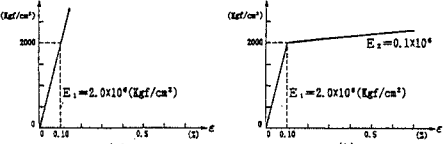


図-2 線形・非線形材料の応力度-ひずみ関係

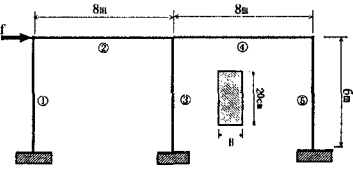


図-3 5部材ラーメン

表-1 5部材ラーメンの最適解の比較
($\lambda_a = 10 \text{ cm}$, $\sigma_a = 2000 \text{ kgf/cm}^2$)

解法 設計変数	ENERGY 1)		DUAL-S 2)	
	B, X, λ	σ_{\max} (kgf/cm ²)	B	σ_{\max} (kgf/cm ²)
部材番号	B (cm)	(kgf/cm ²)	B (cm)	(kgf/cm ²)
1	7.83	2002	7.69	2000
2	4.61	2002	4.53	1999
3	13.97	2002	14.14	2000
4	3.83	1996	4.11	1926
5	7.09	1960	6.80	2000
W(kgf)		3782.5		3781.9
$\lambda_{\max}(\text{cm})$		8.6		8.6
Active な 制約条件		応力		応力

1) 勾配射影法による挙動変数を用いない方法
2) 挙動変数に関する制約条件の感度係数を用いた方法

表-2 10部材ラーメンの最適解($\sigma_a = 2500 \text{ kgf/cm}^2$)

$\lambda_a = 10.0 \text{ cm}$			$\lambda_a = 2.0 \text{ cm}$		
部材番号	B_{opt} (cm)	σ_{\max} (kgf/cm ²)	部材番号	B_{opt} (cm)	σ_{\max} (kgf/cm ²)
1	1.8	-2234	1	4.8	-1488
2	10.1	2449	2	10.2	2493
3	4.2	-2392	3	5.4	-2091
4	9.5	2398	4	8.7	2464
5	4.3	-2470	5	6.1	-2027
6	4.5	-2440	6	5.5	-2288
7	9.5	-2427	7	9.8	-2479
8	2.0	-2284	8	2.5	-2016
9	9.2	-2500	9	9.5	-2457
10	7.3	-2389	10	15.1	-1863
W(kgf)		17718.6	W(kgf)		21261.5
$\lambda_{\max}(\text{cm})$		7.0	$\lambda_{\max}(\text{cm})$		2.0
Active な 制約条件		応力	Active な 制約条件		応力・変位

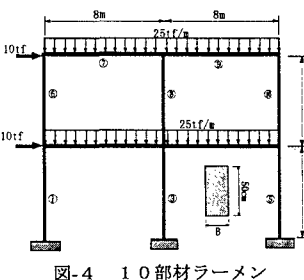


図-4 10部材ラーメン

1) Ohkubo,S. and Makino,K.: Nonlinear stress and displacement analysis of rigid plane frames by total complementary energy minimization, *Computers & Structures*, 44, No.1/2, 1992, pp.193-206.